

Starkniederschlagshöhen und -spenden gemäß KOSTRA-DWD-2020

Rasterfeld 191118

(Zeile 191, Spalte 118)

Regenspende und Bemessungsniederschlagswerte in Abhängigkeit von Wiederkehrzeit T und Dauerstufe D

| Dauerstufe D | | Wiederkehrzeit T | | | | | | | | | | | | | | | | | |
|--------------|-----|------------------|------------|-------|------------|-------|------------|-------|------------|-------|------------|-------|------------|-------|------------|-------|------------|-------|------------|
| | | 1 a | | 2 a | | 3 a | | 5 a | | 10 a | | 20 a | | 30 a | | 50 a | | 100 a | |
| min | Std | mm | l / (s ha) | mm | l / (s ha) | mm | l / (s ha) | mm | l / (s ha) | mm | l / (s ha) | mm | l / (s ha) | mm | l / (s ha) | mm | l / (s ha) | mm | l / (s ha) |
| 5 | | 7,1 | 236,7 | 8,8 | 293,3 | 9,8 | 326,7 | 11,1 | 370,0 | 13,0 | 433,3 | 15,0 | 500,0 | 16,3 | 543,3 | 18,0 | 600,0 | 20,5 | 683,3 |
| 10 | | 9,2 | 153,3 | 11,4 | 190,0 | 12,7 | 211,7 | 14,4 | 240,0 | 16,9 | 281,7 | 19,5 | 325,0 | 21,2 | 353,3 | 23,4 | 390,0 | 26,5 | 441,7 |
| 15 | | 10,7 | 118,9 | 13,2 | 146,7 | 14,7 | 163,3 | 16,7 | 185,6 | 19,6 | 217,8 | 22,5 | 250,0 | 24,5 | 272,2 | 27,0 | 300,0 | 30,7 | 341,1 |
| 20 | | 11,8 | 98,3 | 14,6 | 121,7 | 16,3 | 135,8 | 18,5 | 154,2 | 21,7 | 180,8 | 25,0 | 208,3 | 27,1 | 225,8 | 29,9 | 249,2 | 34,0 | 283,3 |
| 30 | | 13,6 | 75,6 | 16,8 | 93,3 | 18,7 | 103,9 | 21,3 | 118,3 | 25,0 | 138,9 | 28,8 | 160,0 | 31,3 | 173,9 | 34,5 | 191,7 | 39,2 | 217,8 |
| 45 | | 15,7 | 58,1 | 19,3 | 71,5 | 21,5 | 79,6 | 24,5 | 90,7 | 28,7 | 106,3 | 33,1 | 122,6 | 36,0 | 133,3 | 39,7 | 147,0 | 45,1 | 167,0 |
| 60 | 1 | 17,3 | 48,1 | 21,3 | 59,2 | 23,8 | 66,1 | 27,0 | 75,0 | 31,7 | 88,1 | 36,5 | 101,4 | 39,7 | 110,3 | 43,8 | 121,7 | 49,8 | 138,3 |
| 90 | 1,5 | 19,9 | 36,9 | 24,5 | 45,4 | 27,3 | 50,6 | 31,1 | 57,6 | 36,4 | 67,4 | 42,0 | 77,8 | 45,6 | 84,4 | 50,4 | 93,3 | 57,2 | 105,9 |
| 120 | 2 | 22,0 | 30,6 | 27,0 | 37,5 | 30,2 | 41,9 | 34,3 | 47,6 | 40,2 | 55,8 | 46,3 | 64,3 | 50,3 | 69,9 | 55,6 | 77,2 | 63,1 | 87,6 |
| 180 | 3 | 25,2 | 23,3 | 31,0 | 28,7 | 34,6 | 32,0 | 39,4 | 36,5 | 46,2 | 42,8 | 53,2 | 49,3 | 57,8 | 53,5 | 63,8 | 59,1 | 72,4 | 67,0 |
| 240 | 4 | 27,8 | 19,3 | 34,2 | 23,8 | 38,2 | 26,5 | 43,4 | 30,1 | 50,9 | 35,3 | 58,7 | 40,8 | 63,7 | 44,2 | 70,4 | 48,9 | 79,9 | 55,5 |
| 360 | 6 | 31,9 | 14,8 | 39,3 | 18,2 | 43,8 | 20,3 | 49,8 | 23,1 | 58,4 | 27,0 | 67,3 | 31,2 | 73,2 | 33,9 | 80,8 | 37,4 | 91,7 | 42,5 |
| 540 | 9 | 36,6 | 11,3 | 45,1 | 13,9 | 50,3 | 15,5 | 57,2 | 17,7 | 67,1 | 20,7 | 77,3 | 23,9 | 84,0 | 25,9 | 92,7 | 28,6 | 105,2 | 32,5 |
| 720 | 12 | 40,4 | 9,4 | 49,7 | 11,5 | 55,5 | 12,8 | 63,0 | 14,6 | 73,9 | 17,1 | 85,2 | 19,7 | 92,6 | 21,4 | 102,2 | 23,7 | 116,0 | 26,9 |
| 1080 | 18 | 46,4 | 7,2 | 57,0 | 8,8 | 63,6 | 9,8 | 72,3 | 11,2 | 84,9 | 13,1 | 97,8 | 15,1 | 106,2 | 16,4 | 117,3 | 18,1 | 133,2 | 20,6 |
| 1440 | 24 | 51,1 | 5,9 | 62,9 | 7,3 | 70,2 | 8,1 | 79,8 | 9,2 | 93,6 | 10,8 | 107,8 | 12,5 | 117,1 | 13,6 | 129,3 | 15,0 | 146,8 | 17,0 |
| 2880 | 48 | 64,6 | 3,7 | 79,5 | 4,6 | 88,8 | 5,1 | 100,9 | 5,8 | 118,3 | 6,8 | 136,4 | 7,9 | 148,1 | 8,6 | 163,6 | 9,5 | 185,7 | 10,7 |
| 4320 | 72 | 74,2 | 2,9 | 91,3 | 3,5 | 101,9 | 3,9 | 115,8 | 4,5 | 135,8 | 5,2 | 156,4 | 6,0 | 170,0 | 6,6 | 187,7 | 7,2 | 213,1 | 8,2 |
| 5760 | 96 | 81,8 | 2,4 | 100,6 | 2,9 | 112,3 | 3,2 | 127,6 | 3,7 | 149,7 | 4,3 | 172,5 | 5,0 | 187,4 | 5,4 | 206,9 | 6,0 | 234,9 | 6,8 |
| 7200 | 120 | 88,2 | 2,0 | 108,5 | 2,5 | 121,1 | 2,8 | 137,7 | 3,2 | 161,5 | 3,7 | 186,0 | 4,3 | 202,1 | 4,7 | 223,2 | 5,2 | 253,4 | 5,9 |
| 8640 | 144 | 93,8 | 1,8 | 115,5 | 2,2 | 128,8 | 2,5 | 146,4 | 2,8 | 171,8 | 3,3 | 197,9 | 3,8 | 215,0 | 4,1 | 237,4 | 4,6 | 269,6 | 5,2 |
| 10080 | 168 | 98,9 | 1,6 | 121,6 | 2,0 | 135,8 | 2,2 | 154,3 | 2,6 | 181,0 | 3,0 | 208,5 | 3,4 | 226,5 | 3,7 | 250,2 | 4,1 | 284,0 | 4,7 |

Starkniederschlagshöhen und -spenden gemäß KOSTRA-DWD-2020

Rasterfeld 191118

(Zeile 191, Spalte 118)

Örtliche Unsicherheiten in Abhängigkeit von Wiederkehrzeit T und Dauerstufe D

| Dauerstufe D | | Wiederkehrzeit T | | | | | | | | |
|--------------|-----|------------------|-----|-----|-----|------|------|------|------|-------|
| | | 1 a | 2 a | 3 a | 5 a | 10 a | 20 a | 30 a | 50 a | 100 a |
| min | Std | ± % | ± % | ± % | ± % | ± % | ± % | ± % | ± % | ± % |
| 5 | | 22 | 24 | 25 | 25 | 26 | 27 | 27 | 27 | 28 |
| 10 | | 25 | 26 | 27 | 28 | 29 | 30 | 30 | 31 | 31 |
| 15 | | 25 | 27 | 28 | 29 | 30 | 31 | 31 | 31 | 32 |
| 20 | | 25 | 27 | 28 | 29 | 30 | 31 | 31 | 32 | 32 |
| 30 | | 25 | 27 | 27 | 28 | 29 | 30 | 31 | 31 | 32 |
| 45 | | 23 | 25 | 26 | 27 | 28 | 29 | 29 | 30 | 30 |
| 60 | 1 | 22 | 24 | 25 | 26 | 27 | 28 | 28 | 29 | 29 |
| 90 | 1,5 | 20 | 22 | 23 | 24 | 25 | 26 | 26 | 27 | 27 |
| 120 | 2 | 19 | 21 | 22 | 23 | 24 | 25 | 25 | 26 | 26 |
| 180 | 3 | 17 | 19 | 20 | 21 | 22 | 23 | 23 | 24 | 24 |
| 240 | 4 | 16 | 18 | 19 | 20 | 21 | 21 | 22 | 22 | 23 |
| 360 | 6 | 15 | 17 | 17 | 18 | 19 | 20 | 20 | 21 | 21 |
| 540 | 9 | 15 | 16 | 16 | 17 | 18 | 18 | 19 | 19 | 20 |
| 720 | 12 | 15 | 15 | 16 | 16 | 17 | 18 | 18 | 18 | 19 |
| 1080 | 18 | 15 | 16 | 16 | 16 | 17 | 17 | 17 | 18 | 18 |
| 1440 | 24 | 16 | 16 | 16 | 17 | 17 | 17 | 17 | 18 | 18 |
| 2880 | 48 | 19 | 19 | 19 | 18 | 18 | 19 | 19 | 19 | 19 |
| 4320 | 72 | 22 | 21 | 21 | 20 | 20 | 20 | 20 | 20 | 20 |
| 5760 | 96 | 24 | 23 | 22 | 22 | 22 | 22 | 22 | 22 | 21 |
| 7200 | 120 | 26 | 24 | 24 | 24 | 23 | 23 | 23 | 23 | 23 |
| 8640 | 144 | 27 | 26 | 25 | 25 | 24 | 24 | 24 | 24 | 24 |
| 10080 | 168 | 28 | 27 | 26 | 26 | 25 | 25 | 25 | 25 | 25 |

Parameter für abweichende T und D

Lokationsparameter ξ (Xi)

17,41368265

Skalenparameter α (Alpha)

5,57788573

Formparameter κ (Kappa)

-0,1

1. Koutsoyiannis-Parameter θ (Theta)

0,00667915

2. Koutsoyiannis-Parameter η (Eta)

0,66097394

Parameter für dauerstufenübergreifende Extremwertschätzung nach KOUTSOYIANNIS et al. 1998.

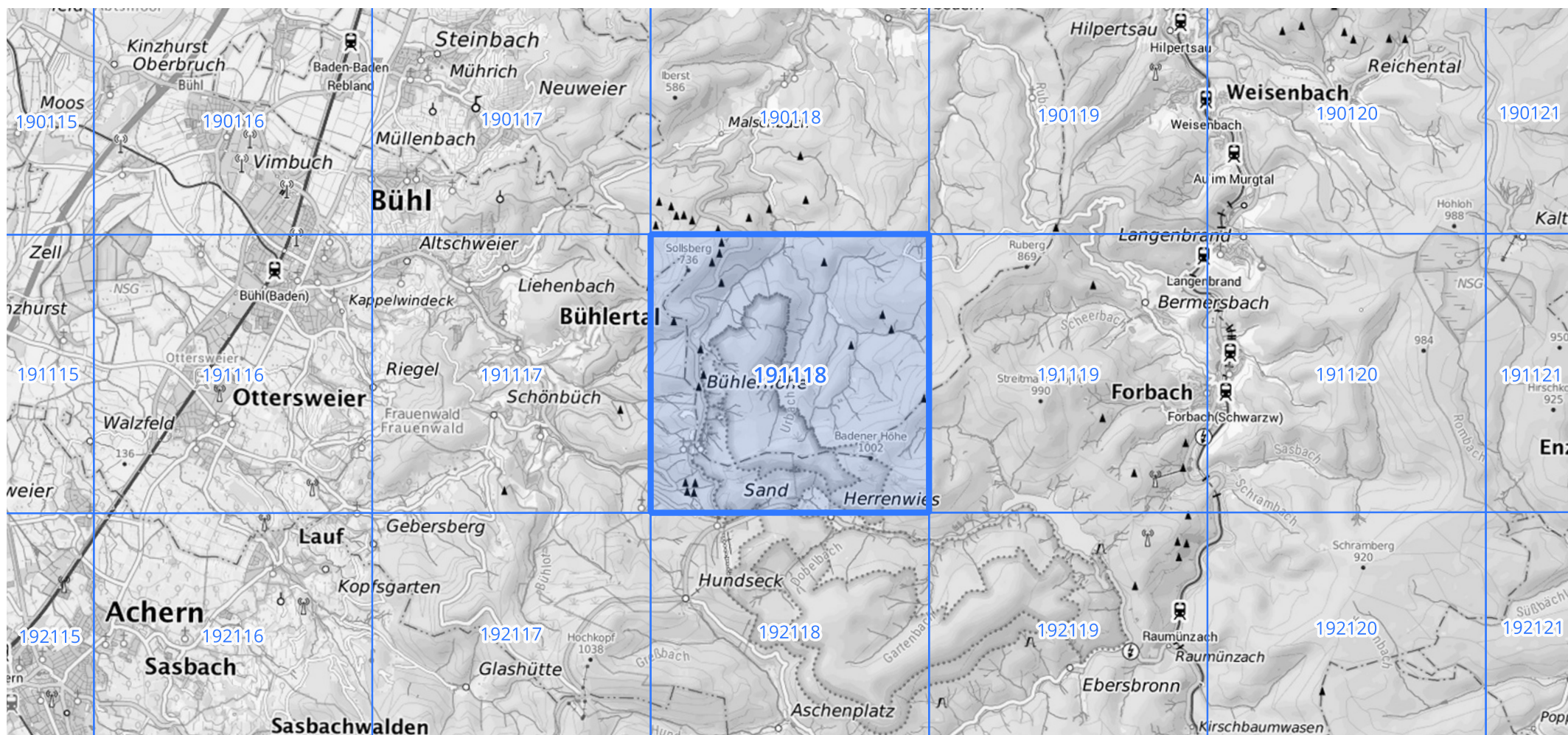
Siehe auch Anwendungshilfe zu KOSTRA-DWD-2020 des Deutschen Wetterdienstes.

Starkniederschlagshöhen und -spenden gemäß KOSTRA-DWD-2020

Rasterfeld 191118

(Zeile 191, Spalte 118)

Übersichtskarte des Rasterfeldes 191118, M 1 : 100 000



Quelle Rasterdaten: KOSTRA-DWD-2020 des Deutschen Wetterdienstes, Stand 12/2022.

Seite 3 von 3

Kartendarstellung: © Bundesamt für Kartographie und Geodäsie (2023), Datenquellen: https://sgx.geodatenzentrum.de/web_public/gdz/datenquellen/Datenquellen_TopPlusOpen.html

Für die Richtigkeit und Aktualität der Angaben wird keine Gewähr übernommen. Erstellt 01/2023.